

GRUPPO ITALIANO FRATTURA  
IGF

I° CONVEGNO NAZIONALE

MILANO 4 MAGGIO 1983  
ENEL-CRIS, VIA ORNATO 90/14 - 20162 MILANO

A. DI TOMMASO - Istituto di Scienza delle Costruzioni  
Università di Bologna

APPLICAZIONI DELLA M.F. ALLO STUDIO DEL DANNEGGIAMENTO E DELLA  
FESSURAZIONE DEI CALCESTRUZZI.

Lo studio del danneggiamento meccanico dei calcestruzzi sottoposti a stati di sforzo monotoni e ciclici può essere descritto in termini di M.F. Infatti l'effetto principale del danneggiamento consiste in microfessure di scollamento fra le due "fasi", aggregato a pasta di cemento, che costituiscono il calcestruzzo.

Relazioni empiriche possono anche essere istituite fra comportamento meccanico macroscopico e stati di danneggiamento. Un accenno viene anche fatto alle tecniche di osservazione in grado di descrivere tale danneggiamento.

Un secondo punto nel quale i concetti di M.F. risultano utili è quello della fessurazione, valutato su materiale "omogeneo", data la scala di indagine. In questo caso la M.F. lineare e la M.F. elastoplastica non sembrano direttamente applicabili per le caratteristiche di elevato "softening" che presenta questo materiale. In questo caso vengono esaminati particolari aspetti oggetto di indagini in corso.

1) RICERCHE SUL CALCESTRUZZO

LIVELLI DI INDAGINE

OGGETTO DI INDAGINE

MODELLAZIONE

LIVELLI	OGGETTO	MODELLI	
MICRO-LIVELLO	STRUTTURA CHIM. PASTA DI CEMENTO	"MATERIAL SCIENCE" MODELS	STRUCTURAL MECHANICS
MESO-LIVELLO	PORI CRACKS INCLUSIONI	"MATERIAL ENGINEERING" MODELS	
MACRO-LIVELLO	COMPORTAM. NECC. ELEM STRUTTUR.	"STRUCTURAL ENGINEERING" MODELS	

1.)

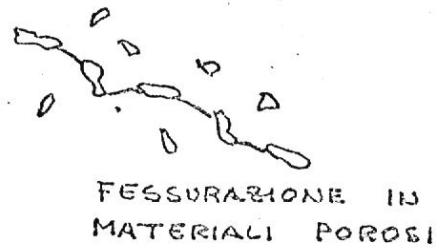
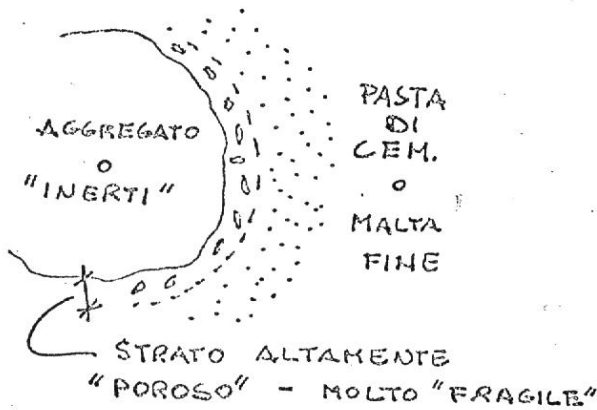
1.1) MICRO - LIVELLO

1.2) MESO - LIVELLO

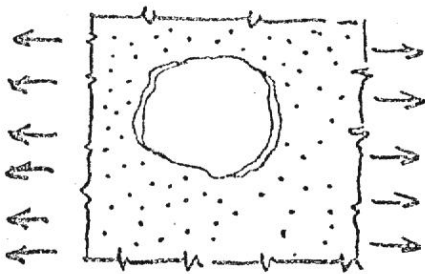
### MATERIAL ENGINEERING MODELS.

#### SITUAZIONE

#### MATERIALI COMPOSTI



#### CONSEGUENZA

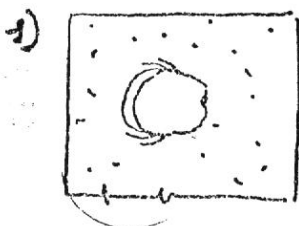


TENSIONI TERMICHE  
O DA RITIRO } => DEBONDING

#### CARATTERISTICHE DEL MODELLO

1) NON - LINEARITA' GLOBALE PER DISSIPAZIONE DI ENERGIA DI FRATTURA.

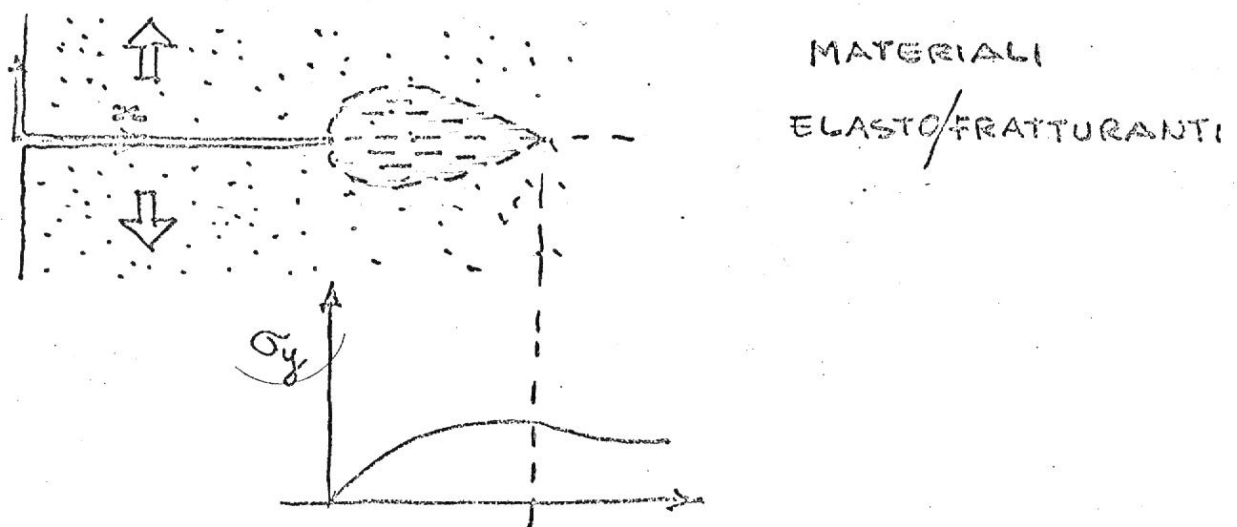
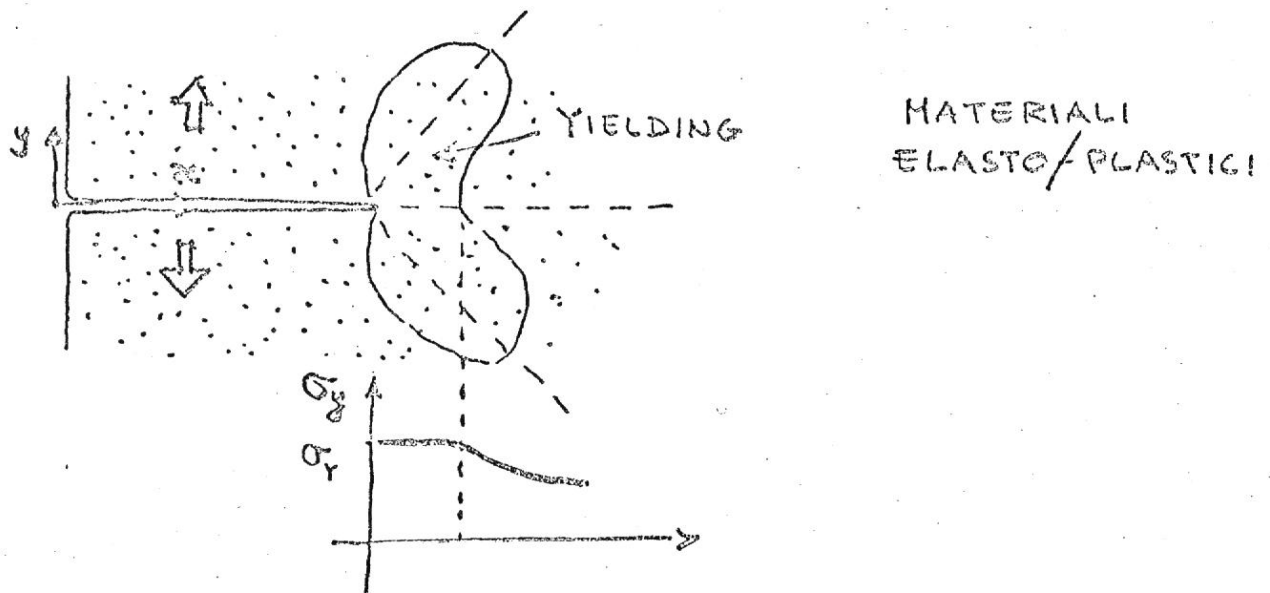
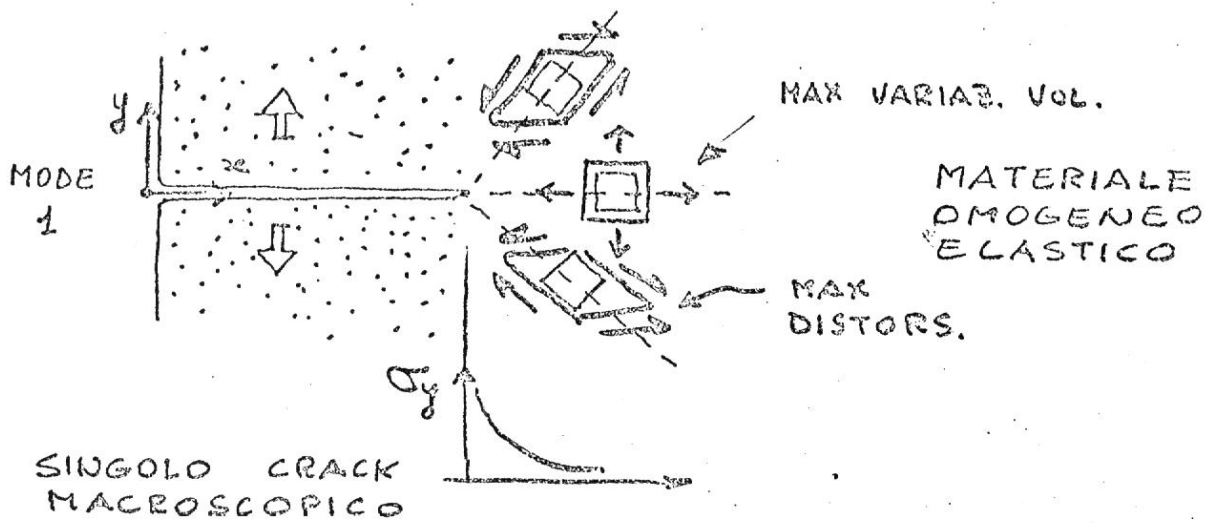
2) ENERGIA DI FRATTURA  $\longleftrightarrow$  PERC. AGGREGATO



CRACK ARRESTORS !

# 1.3) MACRO-LIVELLO

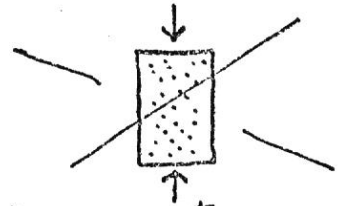
## STRUCTURAL ENGINEERING MODELS



(\*) NEL MACRO-LIVELLO IL CLS. PUO' CONSIDERARSI OMOGENEO.

## 2) TECNICHE DI OSSERVAZIONE DEL DANNEGGIAMENTO

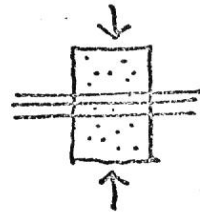
### 2.1) ESPOSIZIONE AI RAGGI-X



Anche sotto carico. Osservazioni eseguite contemporaneamente in più direzioni.

S.R. ROBINSON (1965); F.O. SLATE - S. OLSEFSKI (1974)

### 2.2) OSSERVAZIONI OTTICHE



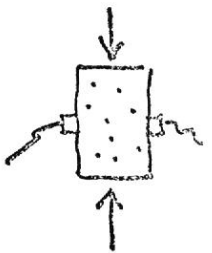
Sezioni a vari livelli di carico. trattamento con inchiostri

osservazioni col microscopio ottico

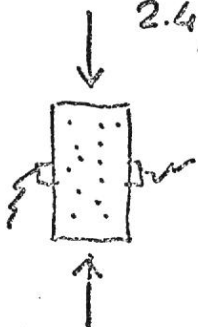
R.H. DHIR - M. SANGHA (1974)

### 2.3) MISURE DI VELOCITA' DI ATTRAVERSAM. ULTRASUONI

Descrizione, sotto carico, di un parametro di "densita'" di micro-cracks in correlazione con la velocita' di attraversam. degli ultrasuoni.



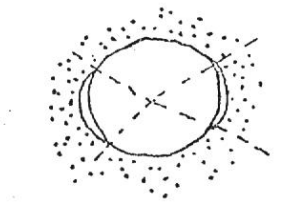
### 2.4) ANALISI DELLA "EMISSIONE ACUSTICA"



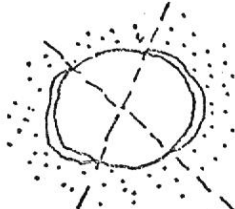
Registrazione dei segnali durante la evoluzione del fenomeno di fessurazione.

3) MECCANISMI DI DANNEGGIAMENTO

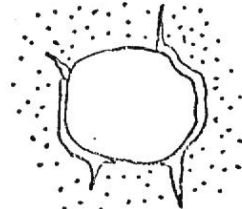
— MESO-LIVELLO —



SCOLLAMENTO PRIMITIVO



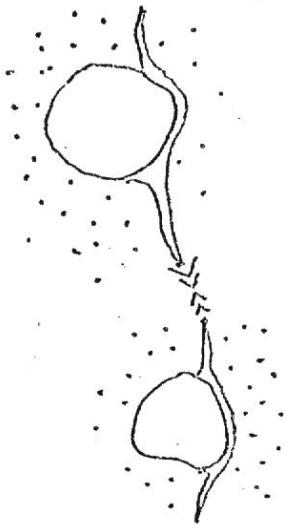
AUMENTO DI SCOLLAMENTO



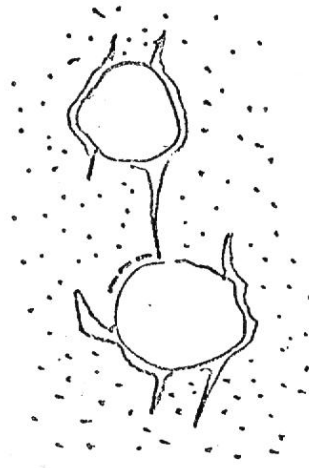
DIVERGENZA DEL CRACK



CRACKS DI COLLEGAM. DEI PORI

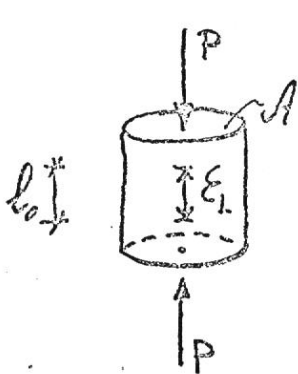
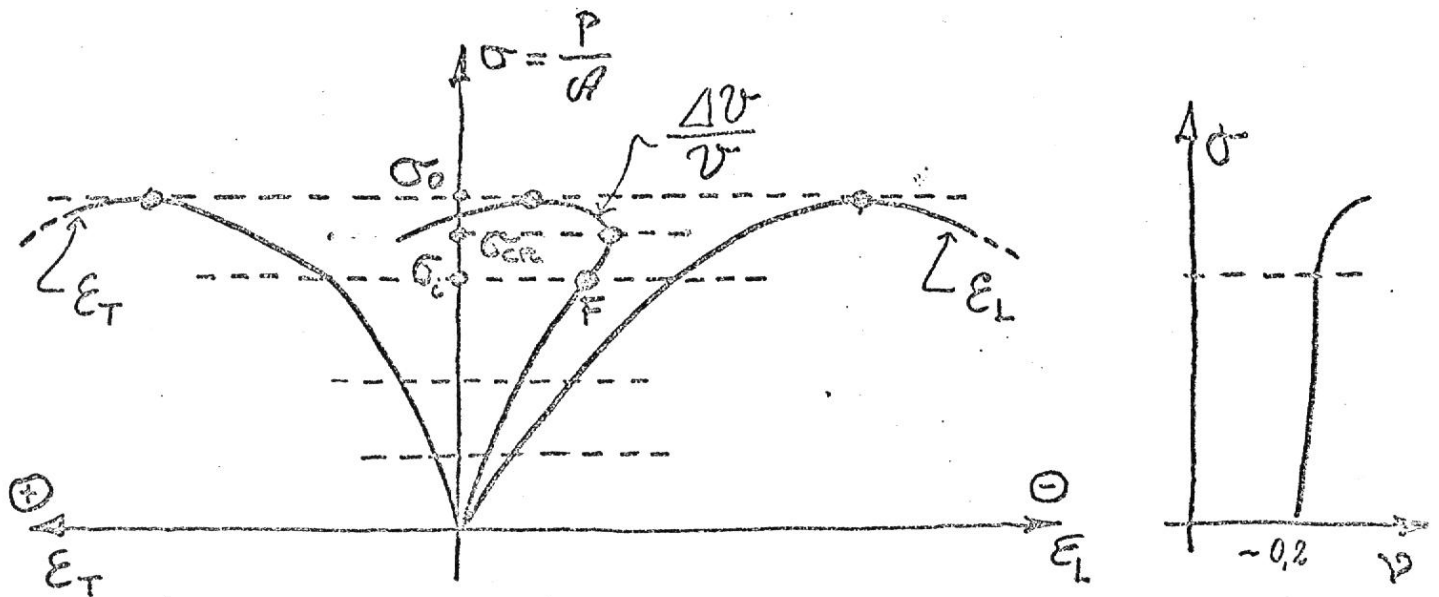


EFFETTO "PONTE"



ARRESTO O DEVIAZIONE DEL CRACKS

4)  
2.3) COMPORTAMENTO A COMPRESSIONE MONOTONA



deform.  
longitudinale  
 $\epsilon_L = \frac{l - l_0}{l_0}$   
negativo



deform.  
trasvers.  
 $\epsilon_T = \frac{d - d'}{d'}$   
positivo

Variazione specifica di volume  $\frac{\Delta V}{V} = \epsilon_L + 2\epsilon_T$

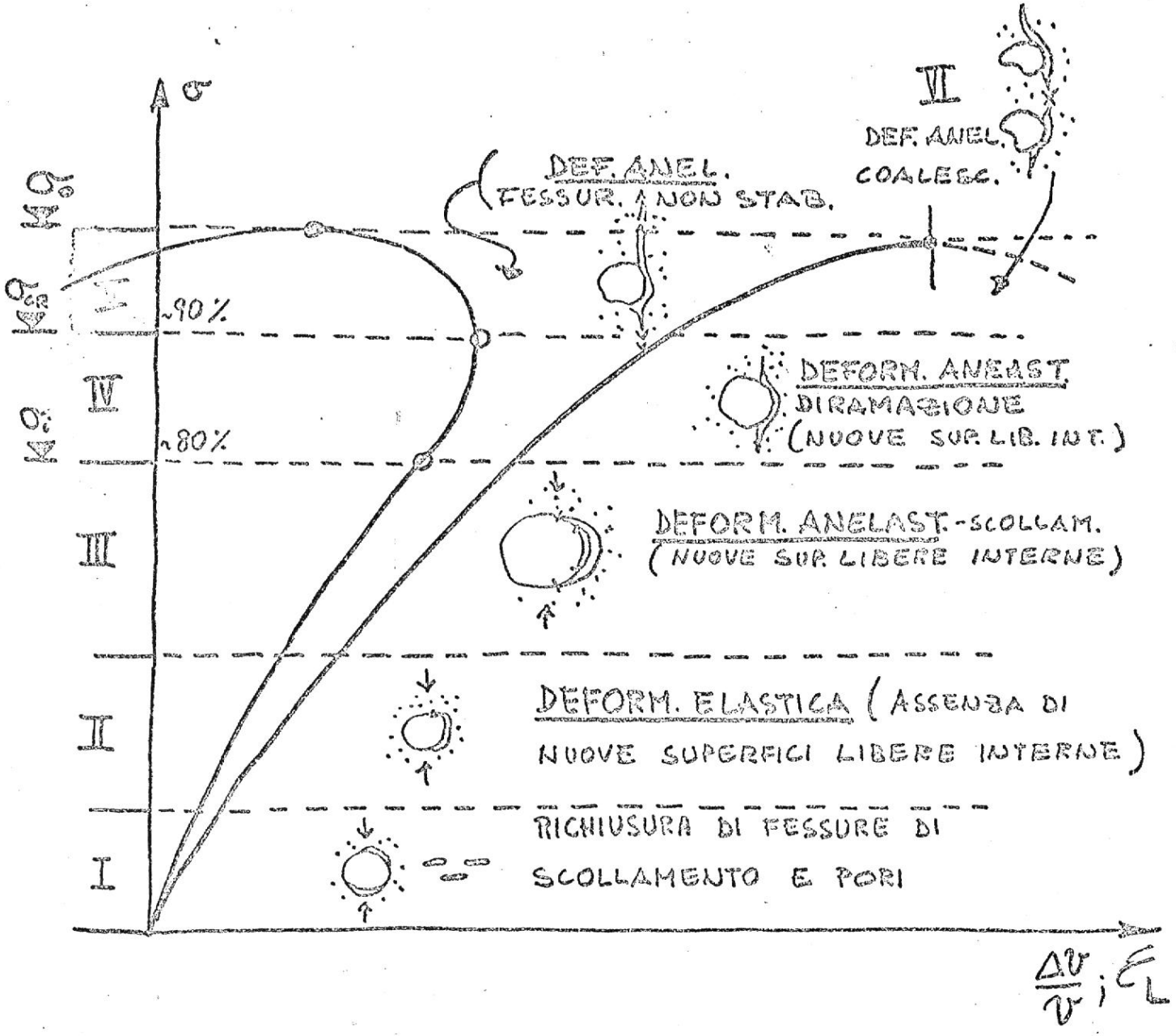
Coefficiente di Poisson  $\nu = \left| \frac{\epsilon_T}{\epsilon_L} \right|$

Livelli di tens. caratteristici:

$\sigma_e$        $\sigma_0$

$\sigma_{CR}$

4)  
 2.3) COMPORTAM. A COMPRESSIONE MONOTONA



MECCANISMI DI DANNEGGIAMENTO  
 PREVALENTI AI VARI LIVELLI DI  
 TENSIONE.



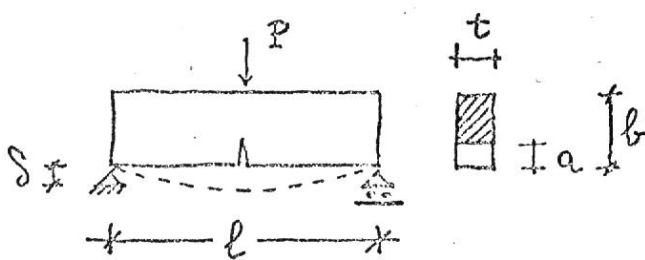
# FRACTURE MECHANICS AT MACROSCOPICAL LEVEL

ENERGETIC CRITICAL PARAMETER  $G_{Ic}$   
 « Crack extension force » IRWIN - 1957.

( SURFACE ENERGY  $\gamma$   $G_{Ic} \leftrightarrow 2\gamma$   
 "thermodynamic energy necessary to produce a  
 unit free surface" GRIFFITH - 1920. )

ANALOGOUSLY THE « Crack extension force  $G_{Ic}$  » was defined as the energy absorbed in a unit crack extension.

THE PARAMETER  $G_I$  IS DEFINED AS THE "ELASTIC ENERGY RELEASED IN A "UNIT" VIRTUAL CRACK EXTENSION". IF  $G_I$  IS EQUAL TO  $G_{Ic}$  THE ENERGY RELEASED IS SUFFICIENT TO PRODUCE THE NEW FRACTURE SURFACE AND SO CRACK PROPAGATION REALLY OCCURS. (MODE I)



$$C = \frac{S}{P} \text{ (compliance)}$$

$$G_I = -\frac{1}{2} \frac{P^2}{t} \frac{dC}{da} \quad (*)$$

IF WE CONSIDER AN ACTUAL CRACK EXTENSION, THE (\*) PROVIDES AN EXPERIMENTAL METHOD, NAMED DIRECT METH. BY KAPLAN (1961), WHICH ALLOWS  $G_{Ic}$  TO BE EVALUATED.

LINEAR ELASTIC FIELD  $\rightarrow$   $G_{Ic} = \frac{K_{Ic}^2}{E}$   
 $\rightarrow$   $G_{Ic} = 2\gamma$

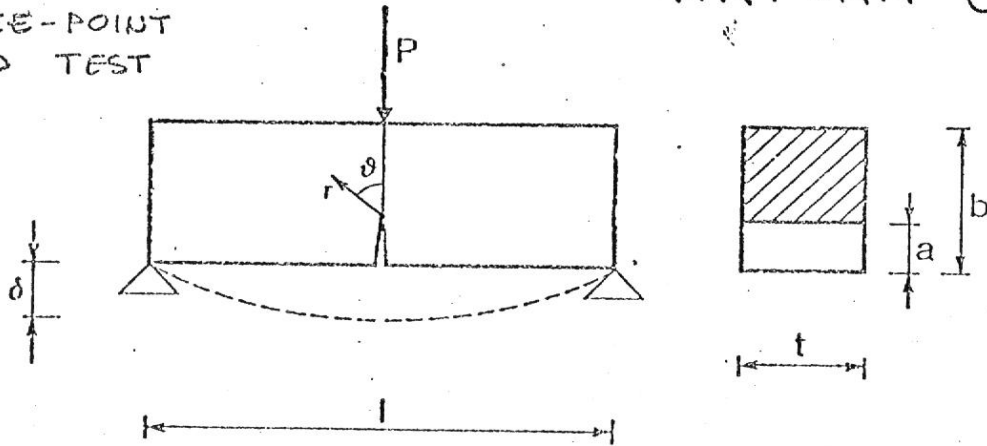


# MEASUREMENT OF $K_{Ic}$ OR $G_{Ic}$ (MACRO-LEVEL)

FIRST EXP WORK:

KAPLAN (1961)

THREE-POINT  
BEND TEST

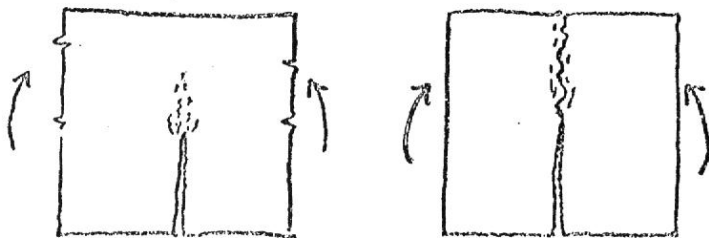


KAPLAN CONCLUSION : 1)  $G_{Ic} \gg 2\gamma$

2) LARGER BEAMS  $\Rightarrow$  HIGHER  $G_{Ic}$

GLUCKLICH (1953-68)

CONCLUSIONS : FRACTURE OF CONCRETE IS NOT LIMITED TO THE PROPAGATION OF A SINGLE CRACK BUT A MULTITUDE OF MICRO-CRACKS FORMED IN HIGHLY STRESSED ZONE (PROCESS ZONE) SO THE TRUE FRACTURE SURFACE AREA WAS MUCH GREATER THAN THE APPARENT ONE



$G_{Ic} \gg 2\gamma$

CONCLUSIONS BY SEVERAL AUTHORS :

$G_{IC} \gg 2\gamma$

$G_{IC}$

INCREASES WITH INCREASING  
AGGREGATE VOLUME

INCREASE AS THE ANGULARITY  
FACTOR OF AGGREG. INCREASES



AGGREGATES  
"CRACK ARRESTORS"

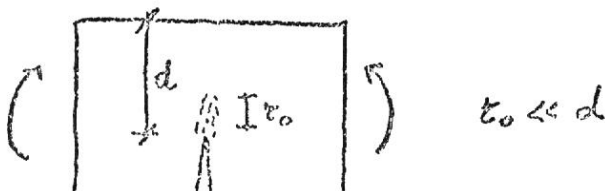
◦ SEVERAL INCONSISTENCIES BEGAN TO APPEAR  
IN  $G_{IC}$  EVALUATION REGARDING THE FOLLOWING  
EFFECTS :

- 1) SPECIMEN SIZE
- 2) NOTCH DEPTH
- 3) SPECIMEN TYPE

MAIN PROBLEMS :

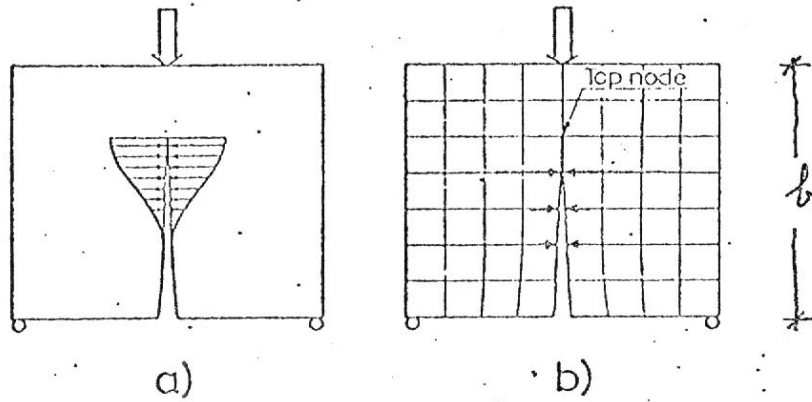
SPECIMEN SIZE LARGE ENOUGH TO PROVIDE  
A VALID F. M. TEST

WALSH (1972) SUGGESTED THAT THE SPECIMEN  
SIZE MUST BE LARGE ENOUGH SO THAT THE  
"PROCESS ZONE" AT CRACK TIP IS "SMALL"  
COMPARED TO THE "LIGAMENT."



VALID F.M. TEST FOR CONCRETE

HILLERBORG APPROACH



$$l_{ch} = \frac{S_{ic} E}{\sigma_t^2} = \frac{K_{Ic}^2}{\sigma_t^2} \quad \ll \text{material characteristics length} \gg$$

$\sigma_t$  = tensile strength.

FOR VALID TEST

$b \geq 10 l_{ch}$  (\*)

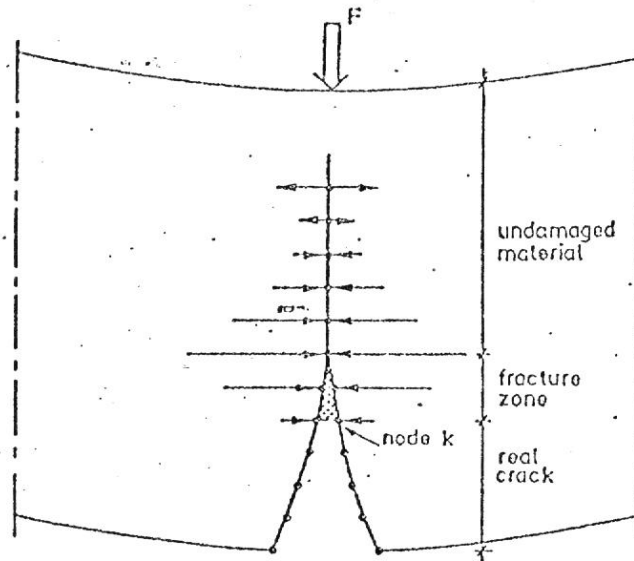


FIG.22- A numerical model (fictitious crack) to simulate crack propagation by F.E. (by HILLERBORG).

THIS (\*) CONDITION REQUIRES  $b \cong 2 \div 3$  meters !

VALID F.M. TEST FOR CONCRETE

CARPINTERI APPROACH (1981)

$$\frac{P_{ce} l}{\sigma_u b^2 t}$$

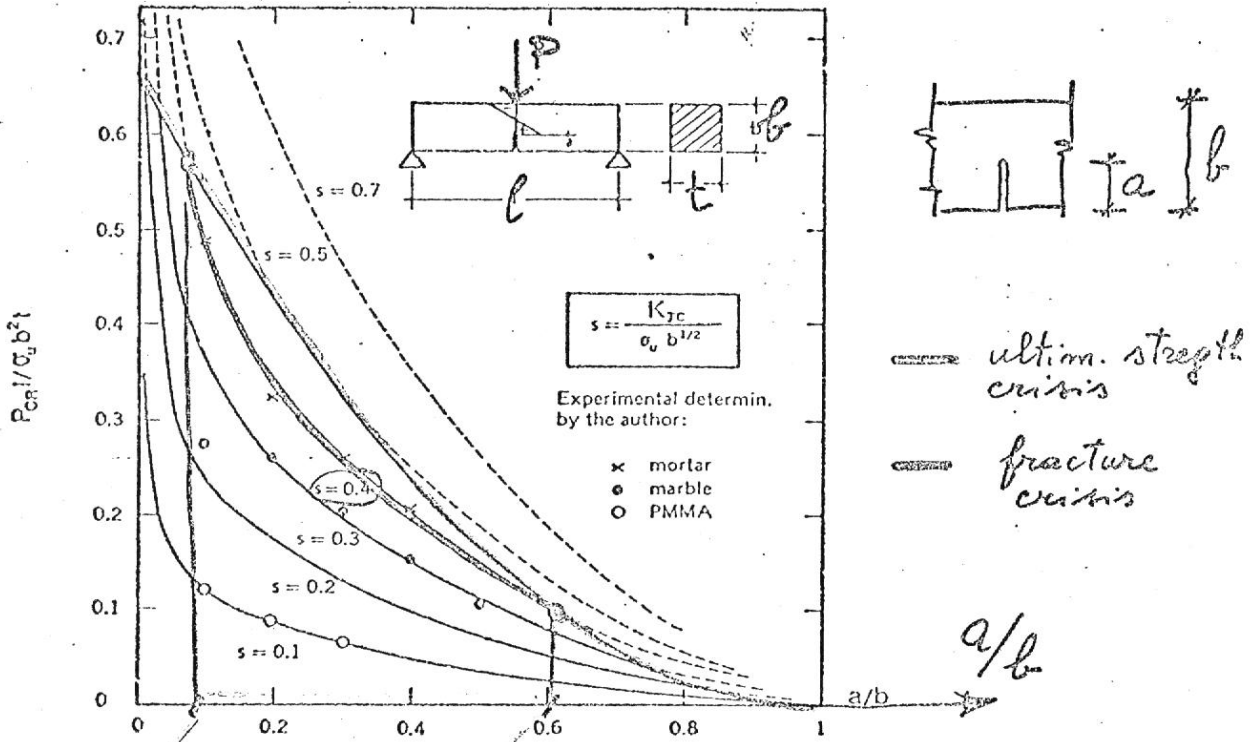


Fig. 5. Crack extension force (varying the brittleness number  $s$ ) and force of collapse at ultimate strength, against relative crack depth (TPB).

FOR  $\begin{cases} s = 0.4 \\ a/b = 0.1 \div 0.6 \end{cases}$

CARPINTERI

test brittleness number

$$s = \frac{K_{Ic}}{\sigma_u \sqrt{b}}$$

⑤ IS OBTAINED BY APPLYING BUCKINGHAM TEOR. FOR PHYSICAL SIMILITUDE

$$s < 0.5$$

$$b > 4 \frac{K_{Ic}^2}{\sigma_u^2}$$

ENGINEERING FRACTURE MECHANICS

Vol. 16, No. 4, pp. 467-481

NOTCH SENSITIVITY IN FRACTURE TESTING OF AGGREGATIVE MATERIALS

ALBERTO CARPINTERI

stituto di Scienza delle Costruzioni, University of Bologna, Viale Risorgimento 2, 40136 Bologna, Italy

$G_F$  = FRACTURE ENERGY

- HILLERBORG - 1978

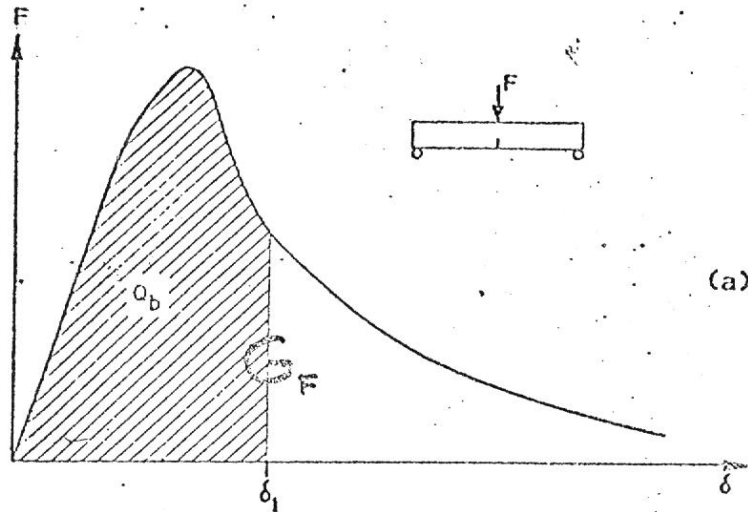
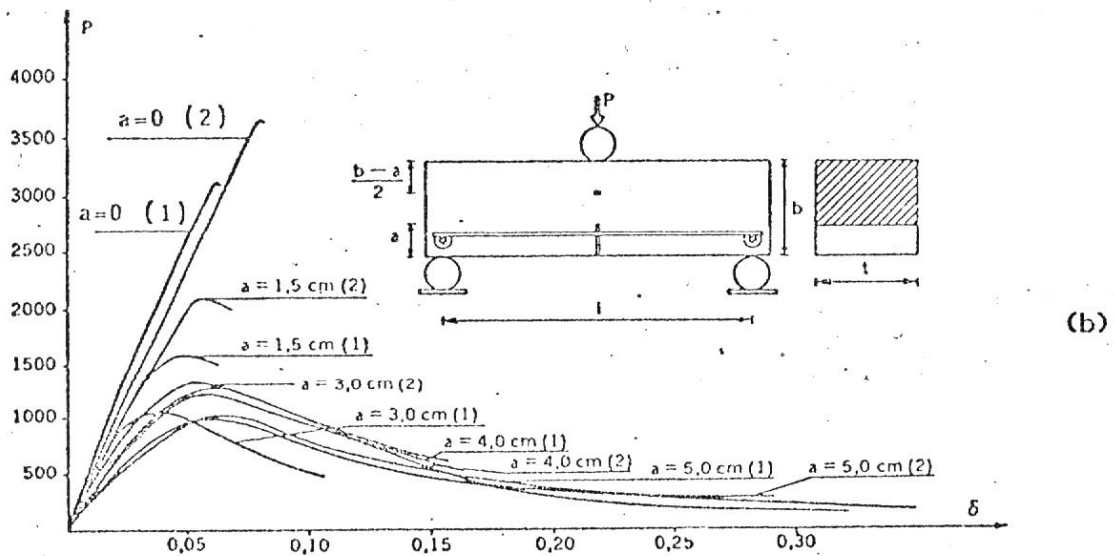


FIG. 23 a,b- Three-point bend test. Fracture energy ( $G_F$ ) evaluation in stable test ( $t \times b \times l = 150 \times 150 \times 450$  mm).



- DI LEO - 1981